

Quantenfehlerkorrekturcodes

Christian Hartler

2. Dezember 2009

- Unterschiede zwischen klassischem Computer und Quantencomputer
- Quantengatter
- Auftretende Fehler im Quantencomputer und mögliche Korrekturen:
 - Bitfehler
 - Phasenfehler
- Fehlerkorrekturcodes
 - 9QECC
 - 7QECC

Unterschiede zwischen klassischem Computer und Quantencomputer

Klassisch

- Bit 0: 0 bis 1 V
Bit 1: 3 bis 5 V
- Es tritt nur 1 Zustand auf:
Entweder Bit 0 oder Bit 1
- Irreversibilität von Gatter
 $0 \vee 1 \rightarrow 1$
- Je 1 Operationschritt für
jeden Zustand

Quantenmechanisch

- QBit $|0\rangle$: $|\uparrow\rangle$
QBit $|1\rangle$: $|\downarrow\rangle$
Relative Phase zwischen $|1\rangle$ und $|0\rangle$
- Superpositionsprinzip:
 $|\Psi\rangle = |\rightarrow\rangle = a|0\rangle + b|1\rangle$
Mit $|a|^2 + |b|^2 = 1$
- Reversibilität von Gatter *NOT* $|0\rangle = |1\rangle$
- 1 Operationschritt für alle Zustände
- Messung zerstört Superposition

Unterschiede zwischen klassischem Computer und Quantencomputer

Quantenmechanisch Elemente die der klassische PC nicht besitzt

- QBits besitzen relative Phasen
 - Sie kontrollierung Orientierung des Spins
 - Sie werden durch den Phasenfaktor beschrieben:
 $e^{i\phi_x} |x\rangle$
- Verschränkte Zustände: $|\Psi\rangle = a|00\rangle + b|11\rangle$:
 - Entsteht durch Wechselwirkung zwischen 2 Teilchen
 - kein Produktzustand von 2 Teilchen
 - können gemeinsame Informationen haben
 - Getrennte Messungen können Zustand nicht aufschlüsseln
- Interferenzen

Quantengatter mit einem Eingang

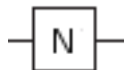
Gatter die nur auf 1 QBit angewendet werden:

- Not Gatter

entspricht einem Bitwechsel:

$$\text{Not}|0\rangle \rightarrow |1\rangle$$

$$\text{Not}|1\rangle \rightarrow |0\rangle$$

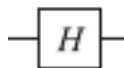


- Hadamard Gatter

bewirkt eine Drehung des Spins um 90° :

$$H|0\rangle = \frac{1}{\sqrt{2}}(|0\rangle + |1\rangle) = |\rightarrow\rangle$$

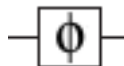
$$H|1\rangle = \frac{1}{\sqrt{2}}(|0\rangle - |1\rangle) = |\leftarrow\rangle$$



- Phase-Shift Gatter

verschiebt die Relative Phase:

$$U_\Phi|x\rangle = e^{i\Phi x}|x\rangle$$

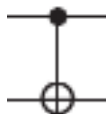


Quantengatter mit mehreren Eingängen

Gatter die auf mehrere QBits angewendet werden

- C-Not Gatter

Das Ziel-Qbit wechselt nur dann, wenn das kontrollierende QBit $|1\rangle$ ist



- Toffoli Gatter

funktioniert wie das C-Not Gatter mit 2 kontrollierende QBits und beide müssen $|1\rangle$ sein, damit das Ziel-QBit wechselt.



Fehler im Quantencomputer

2 Arten von Fehlerquellen:

- Gatter
Unitären Fehler
- Umgebung/Dekohärenz
Nicht unitärer Fehler

Daraus können 3 Arten von Fehlern entstehen:

- Bitfehler

entspricht $\sigma_X = \begin{pmatrix} 0 & 1 \\ 1 & 0 \end{pmatrix} \triangleq |1\rangle\langle 0| + |0\rangle\langle 1| = X$

- Phasenfehler

entspricht $\sigma_Z = \begin{pmatrix} 1 & 0 \\ 0 & -1 \end{pmatrix} \triangleq |0\rangle\langle 0| - |1\rangle\langle 1| = Z$

- Phasen- und Bitfehler

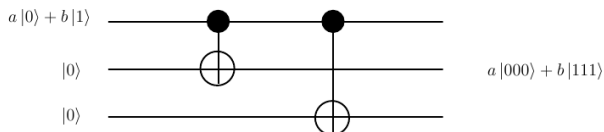
entspricht $i * \sigma_Y = \sigma_Z * \sigma_X = \begin{pmatrix} 0 & 1 \\ -1 & 0 \end{pmatrix} \triangleq |0\rangle\langle 1| - |1\rangle\langle 0| = Y$

Diese Fehlerarten sind auch kontinuierlich

→ Messung wandelt kontinuierliche Fehler in diskrete um.

- Klassisch: Redundanz der Bits:
Kopien von Bits
- Problem in der Quantenmechanik: No-Cloning-Theorem
Perfekte Kopie eines QBit verletzt die Heisenberg'sche Unschärferelation

- Lösung: Verschränkung von Zuständen
- $|\Psi\rangle = a|0\rangle + b|1\rangle$
- $C_{NOT(12)}C_{NOT(13)}|\Psi\rangle|0\rangle|0\rangle$
- $= C_{NOT(12)}C_{NOT(13)}(a|0\rangle|0\rangle|0\rangle + b|1\rangle|0\rangle|0\rangle)$
- $= a|000\rangle + b|111\rangle$

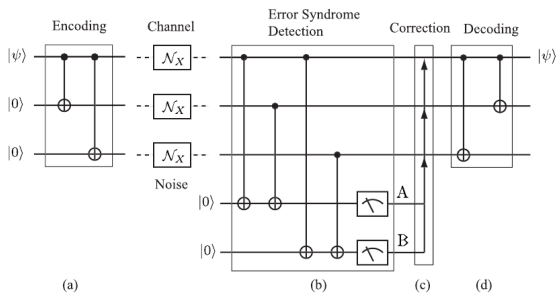


Bitfehler-Schaltplan

- Keine Messung der kodierten QBits

$$|t_1, t_2, t_3\rangle$$
$$(t_1 \stackrel{?}{=} t_2, t_1 \stackrel{?}{=} t_3)$$

- Verwendung zweier Hilfs-QBits im Grundzustand
- Messung der Hilfs-QBits



- $|0\rangle \rightarrow \cos(\alpha)|0\rangle - i \sin(\alpha)|1\rangle$
 - $|1\rangle \rightarrow \cos(\alpha)|1\rangle - i \sin(\alpha)|0\rangle$
- $\Rightarrow |\Psi\rangle = a|000\rangle + b|111\rangle$
- $\rightarrow \cos(\alpha)(a|000\rangle + b|111\rangle) - i \sin(\alpha)(a|100\rangle + b|011\rangle)$
- Messung von $|\Psi\rangle$ liefert:
 - (0,0) mit $P = \cos^2(\alpha)$
 Ψ zerfällt in $a|000\rangle + b|111\rangle$
 - (1,1) mit $P = \sin^2(\alpha)$
 Ψ zerfällt in $a|100\rangle + b|011\rangle$

Phasenfehler-Schaltplan

- Änderung einer Phase ($U_\Phi|x\rangle = e^{i\Phi}x|x\rangle$) wirkt sich auch auf die anderen QBits aus:

$$a|000\rangle + b|111\rangle \rightarrow a|000\rangle - b|111\rangle$$

- Hadamard Gatter:

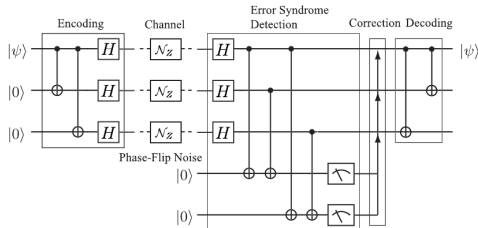
$$H|0\rangle = \frac{1}{\sqrt{2}}(|0\rangle + |1\rangle)$$

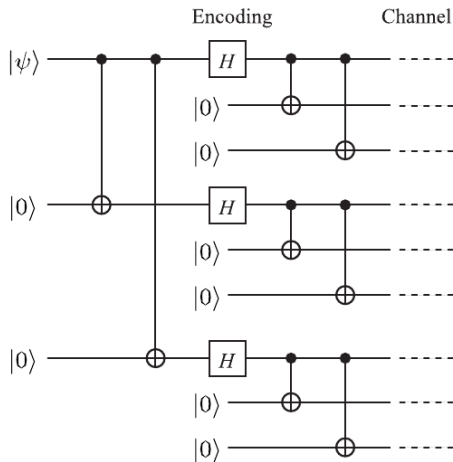
$$H|1\rangle = \frac{1}{\sqrt{2}}(|0\rangle - |1\rangle)$$

- Redundanz der Phase:

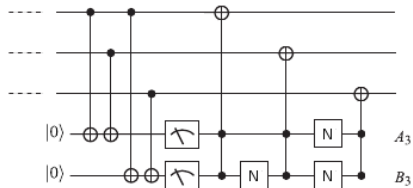
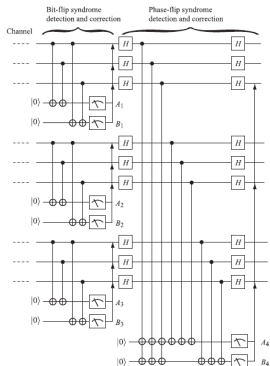
$$\Rightarrow a(|0\rangle + |1\rangle \otimes |\bar{0}\rangle \otimes |\bar{0}\rangle) + b(|0\rangle - |1\rangle \otimes |\bar{1}\rangle \otimes |\bar{1}\rangle)$$

- Umwandlung des Phasenfehlers zu einem Bitfehler

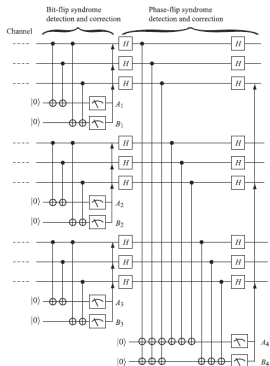




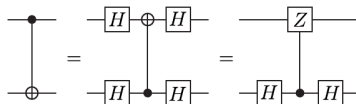
9QECC-Bitmessung



9QECC-Performancesteigerung

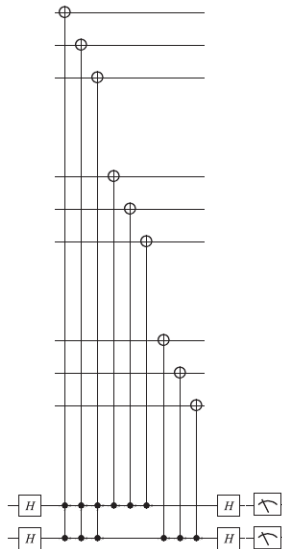
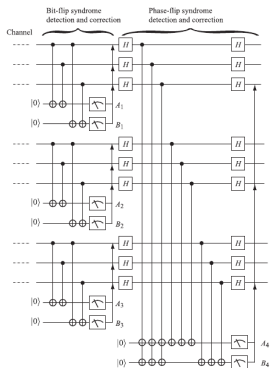


- Vertauschung des kontrollierenden- und des Ziel-QBits

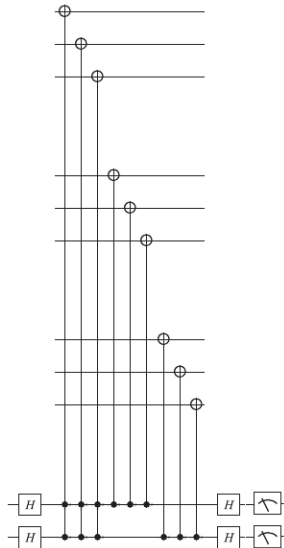
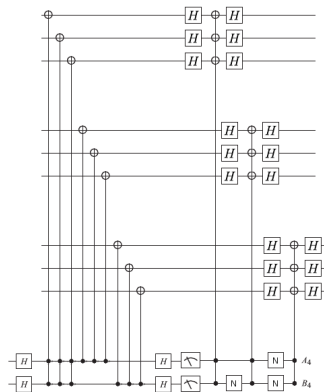


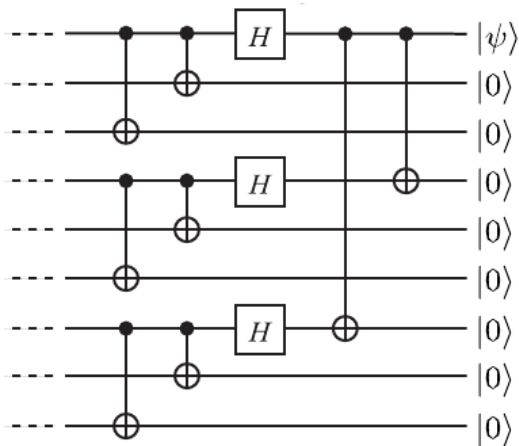
- $U_H X U_H = Z$

9QECC-Phasenmessung



9QECC-Phasenmessung





- k bits an Information, Code c der Länge n und Paritätskontrollmatrix H
- $k=4, n=7$
- $Hc^t = 0$
- Syndrom Hc^t
- Fehleridentifizierung durch 3 Bits:
001,010,...,111

$$H = \begin{pmatrix} 0 & 0 & 0 & 1 & 1 & 1 & 1 \\ 0 & 1 & 1 & 0 & 0 & 1 & 1 \\ 1 & 0 & 1 & 0 & 1 & 0 & 1 \end{pmatrix}$$

- $C = \text{Kern}(H)$
- $\dim C = n - 3 = k$
- Ordnung der Menge C : $2^k = 16$

$$M = \begin{pmatrix} 0 & 0 & 0 & 1 & 1 & 1 & 1 \\ 0 & 1 & 1 & 0 & 0 & 1 & 1 \\ 1 & 0 & 1 & 0 & 1 & 0 & 1 \\ 1 & 1 & 1 & 1 & 1 & 1 & 1 \end{pmatrix}$$

- M ...erzeugende Matrix
- Hamming Code wird durch M erzeugt

7QECC-Klassischer Hintergrund

- Erzeugen von Codevektoren c aus C mit Hilfe eines Vektors v mit der Länge k
- Vektoren in C werden als $v \cdot M$ angeschrieben

v	$v \cdot M$	v	$v \cdot M$
(0000)	(0000000)	(1000)	(0001111)
(0001)	(1111111)	(1001)	(1110000)
(0010)	(1010101)	(1010)	(1011010)
(0011)	(0101010)	(1011)	(0100101)
(0100)	(0110011)	(1100)	(0111100)
(0101)	(1001100)	(1101)	(1000011)
(0110)	(1100110)	(1110)	(1101001)
(0111)	(0011001)	(1111)	(0010110)

- Zuordnung gerader Anzahlen von 1en zu logisch 0
- Zuordnung ungerader Anzahlen von 1en zu logisch 1

- logisch 0:
 - erzeugt durch gerade Binärzahlen von v
 - werden als C^\perp bezeichnet, da sie (mod 2)-orthogonal zu allen Codes in C sind
 - H besteht aus Zeilenvektoren mit geraden Anzahlen von 1en, diese sind gleich mit einigen $c \in C^\perp$
 - M besteht aus Zeilenvektoren von Codes aus C

$$H = \begin{pmatrix} h_1 \\ h_2 \\ h_3 \end{pmatrix}, M = \begin{pmatrix} h_1 \\ h_2 \\ h_3 \\ \text{II} \end{pmatrix}$$

$$\rightarrow HM^t = 0$$

$$\rightarrow HM^t v^t = Hc^t = 0$$

- logisch 1:
 - $C-C^\perp$

- c_1 und c_2 sind Codes in C
- $d_H(c_1, c_2)$...Hammingabstand zwischen c_1 und c_2
- $d_H(c_1, c_2)$ misst wieviele Bits sich unterscheiden
- ① $d_H(c, c) \geq 0$ für beliebige $c \in C$.
- ② $d_H(c_1, c_2) = d_H(c_2, c_1)$ für beliebige $c_1, c_2 \in C$.
- ③ $d_H(c_1, c_3) \leq d_H(c_1, c_2) + d_H(c_2, c_3)$ für beliebige $c_1, c_2, c_3 \in C$.
- ④ $d_H(C) = \min_{c, c' \in C} d_H(c, c')$
- Der Minimalabstand zwischen 2 Codes vom 7QECC beträgt 3
- Maximale Fehleranzahl: $\lfloor \frac{d_H(C)-1}{2} \rfloor$
wobei $\lfloor x \rfloor$ die Abrundungsfunktion bezeichnet.
- 1 Bit Fehlererkennung muss der Minimalabstand zumindest 3 Bits betragen

Operatoren die nötig sind, um den 7 QECC zu erzeugen:
Operatoren für die Bits:

$$M_0 = X_4 X_3 X_2 X_1, M_1 = X_5 X_3 X_2 X_0, M_2 = X_6 X_3 X_1 X_0$$

Operatoren für die Phasen:

$$N_0 = Z_4 Z_3 Z_2 Z_1, N_1 = Z_5 Z_3 Z_2 Z_0, N_2 = Z_6 Z_3 Z_1 Z_0$$

Es gelten folgende Regeln:

$$M_i^2 = N_i^2 = I$$

$$M_i(I + M_i) = I + M_i, [M_i, M_j] = [N_i, N_j] = 0$$

und

$$[M_i, N_j] = [M_i, \bar{X}] = [\bar{X}, N_j] = 0$$

Kodierung der Superposition von 7-QBits:

$$|0\rangle_L = \frac{1}{\sqrt{8}}(I + M_0)(I + M_1)(I + M_2)|0\rangle^{\otimes 7}$$

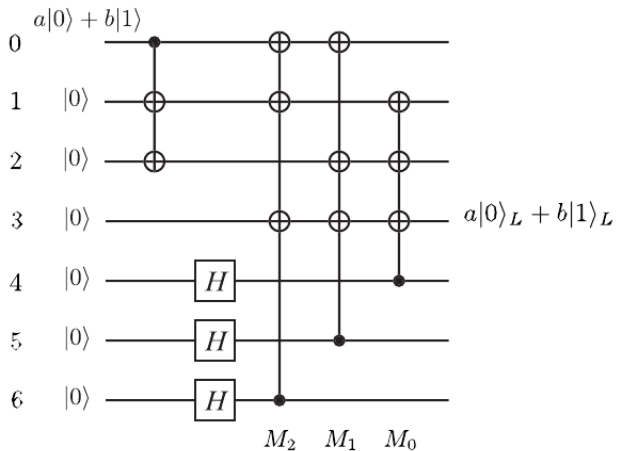
und

$$|1\rangle_L = \frac{1}{\sqrt{8}}(I + M_0)(I + M_1)(I + M_2)|1\rangle^{\otimes 7}$$

- $|0\rangle_L$ und $|1\rangle_L$ sind Eigenvektoren von M_i und N_i mit dem Eigenwert $+1$

$$M_i|x\rangle_L = N_i|x\rangle_L = |x\rangle_L$$

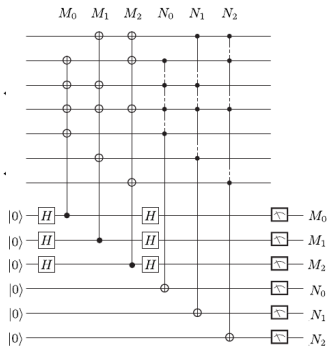
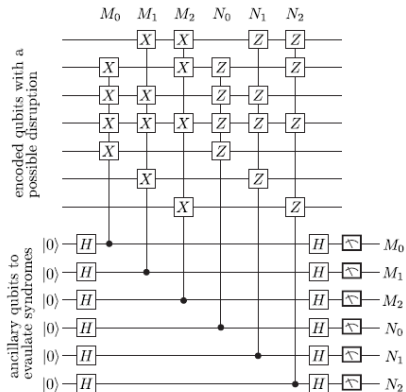
7QECC-Kodierung



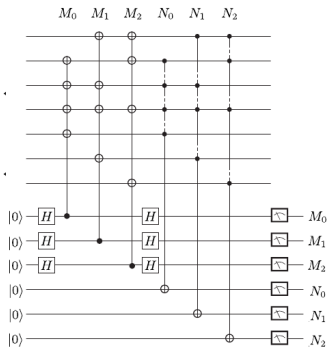
- Fehler Z_0 auf $|0\rangle_L$
- $M_1 Z_0 |0\rangle_L = -Z_0 M_1 |0\rangle_L = -Z_0 |0\rangle_L$
- $M_2 Z_0 |0\rangle_L = -Z_0 |0\rangle_L, M_0 Z_0 |0\rangle_L = Z_0 |0\rangle_L$
- Eigenwerte charakterisiert durch $(M_0, M_1, M_2; N_0, N_1, N_2)$

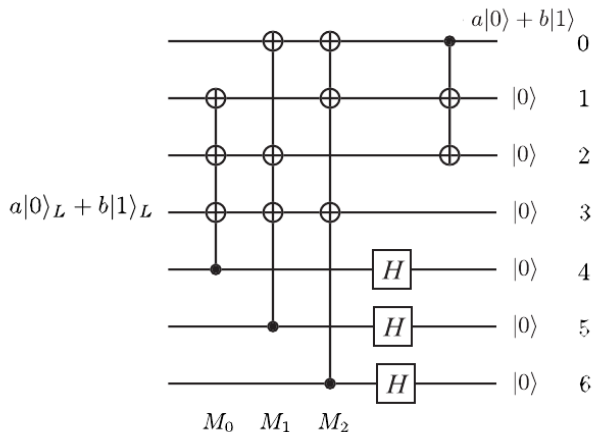
	Y_0	Y_1	Y_2	Y_3	Y_4	Y_5	Y_6
M_0		*	*	*	*		
M_1	*		*	*		*	
M_2	*	*		*			*
N_0		*	*	*	*		
N_1	*		*	*		*	
N_2	*	*		*			*

7QECC-Schaltplan



	Y_0	Y_1	Y_2	Y_3	Y_4	Y_5	Y_6
M_0		*	*	*	*		
M_1	*		*	*		*	
M_2	*	*		*			*
N_0		*	*	*	*		
N_1	*		*	*		*	
N_2	*	*		*			*





VIELEN DANK

FÜR IHRE AUFMERKSAMKEIT